

DOI: 10.3969/j.issn.1000-3142.2013.02.010

易湘茜 高程海 何碧娟 等. 红树植物木榄胚轴中苯丙素类化学成分研究 [J]. 广西植物 2013, 33(2): 191–194

Yi XX Gao CH He BJ et al. Study on phenylpropanoids from hypocotyls of the mangrove plant *Bruguiera gymnorhiza* [J]. Guihaia 2013, 33(2): 191–194

红树植物木榄胚轴中苯丙素类化学成分研究

易湘茜¹, 高程海^{2*}, 何碧娟², 陈 波²

(1. 广西中医药大学, 南宁 530001; 2. 广西科学院, 南宁 530007)

摘要: 从木榄胚轴中分离出 7 个苯丙素类化合物, 运用波谱学确定了化合物结构, 分别鉴定为茛菪亭(1)、Balanophonin(2)、开环异落叶松脂素(3)、臭失菜素 A(4)、松脂素(5)、5'-甲氧基(-)-松脂素(6)、Lyoniresinol-3 α -O- β -D-glucopyranosides(7)。化合物 1, 3, 7 对肿瘤细胞株 A549 显示出弱抑制活性, IC_{50} 值分别为 290.2、323.0、209.3 $\mu\text{g}/\text{mL}$ 。除化合物 3 和 5 以外, 其他化合物均首次从该植物中分离得到。

关键词: 木榄; 苯丙素; 抗肿瘤

中图分类号: R914.4 文献标识码: A 文章编号: 1000-3142(2013)02-0191-04

* Study on phenylpropanoids from hypocotyls of the mangrove plant *Bruguiera gymnorhiza*

YI Xiang-Xi¹, GAO Cheng-Hai^{2*}, HE Bi-Juan², CHEN Bo²

(1. Guangxi University of Chinese Medicine, Nanning 530001, China; 2. Guangxi Academy of Sciences, Nanning 530007, China)

Abstract: Seven phenylpropanoids were isolated from the hypocotyls of *Bruguiera gymnorhiza* and purified by repeated column chromatography on silica Sephadex LH-20 gel, and HPLC and structurally identified by spectral analysis. The compounds were identified as Scopoletin(1), Balanophonin(2), Secoisolariciresinol(3), Cleomiscosin A(4), Pinoresinol(5), Medioresinol(6), and Lyoniresinol-3 α -O- β -D-glucopyranosides(7). Anti-tumors activity bioassay indicated that compounds 1, 3 and 7 had weak cytotoxicity toward human cancer cell lines A549 with IC_{50} of 290.2, 323.0 and 209.3 $\mu\text{g}/\text{mL}$ respectively. All compounds were isolated from this plant for the first time except 3 and 5.

Key words: *Bruguiera gymnorhiza*; phenylpropanoids; anti-tumors

红树是指生长在热带和亚热带的海岸潮间带, 受周期性海水浸淹的木本植物(Tomlinson, 1986; 范航清, 2000)。木榄(*Bruguiera gymnorhiza*)为红树科(Rhizophoraceae)木榄属(*Bruguiera*)植物(Teas, 1983), 在广西主要分布在北仑河口和山口镇英罗湾等地区。木榄有膝状呼吸根及支柱根, 具有胎生现象, 胚轴呈红色。木榄的化学成分主要有木质素

类、萜类、黄酮类、甾醇类、糖类、多聚二硫大环类化合物(尚随胜等, 2005; 刘海利等, 2008; 李昉等, 2010)。在广西民间, 木榄胚轴水煮液具有收敛止泻功效, 可用于治疗腹泻、脾虚、肾虚、糖尿病, 还有抗癌作用。然而, 目前对木榄胚轴的化学成分尚未见有文献报道。本文试图从中寻找新颖结构和抗肿瘤细胞增殖活性的化合物。本研究共从木榄胚轴的

* 收稿日期: 2012-11-27 修回日期: 2013-01-06

基金项目: 国家自然科学基金(81260480); 广西自然科学基金(2011GXNSFB018035, 2011GXNSFE018002, 2012GXNSFEA053001); 广西中医药大学科研项目(P12041)

作者简介: 易湘茜(1981-), 女(苗族), 博士, 主要从事海洋生物资源高值化利用方面等研究(E-mail: xiangxiyi81@yahoo.com.cn)

通讯作者(Author for correspondence, E-mail: gaochenghai@yahoo.com.cn)

氯仿萃取部位中分离得到7个苯丙素类化合物,通过波谱学方法和文献对照,分别鉴定为莨菪亭、Bal-anophonin、开环异落叶松脂素、臭失菜素A、松脂素、5'-甲氧基(-)松脂素、Lyoniresinol- β -D-glucopyranosides。

1 材料与方法

1.1 仪器与材料

Brucker Avance 500型核磁共振波谱仪(瑞典Bruker公司),TMS为内标;高效液相色谱仪为半制备型Waters 2695(二极管阵列检测器,10 mm×150 mm,5 μm,Phenomenex);ESI-MS质谱仪(Agilent 1200 LC-MS),薄层色谱硅胶与柱层析硅胶(青岛海洋化工有限公司生产),Sephadex LH-20(Pharmacia Biotech,Sweden)。高效液相色谱用试剂为色谱纯,其他试剂均为分析纯。

样品于2011年6月采集,采集地点为广西北仑河口,由广西红树林研究中心王新助理研究员鉴定为木榄(*Bruguiera gymnorhiza*)的胚轴。

1.2 提取与分离

木榄胚轴(湿重约12.0 kg)切碎,用乙醇-二氯甲烷混合溶剂(2:1,v:v)浸泡3次,每次约1周,提取液合并,减压浓缩得浸膏915 g。浸膏加适量水溶解,依次氯仿、乙酸乙酯和正丁醇萃取,减压回收萃取溶剂,得氯仿萃取物59 g。将氯仿萃取物采用正相硅胶层析,用石油醚-乙酸乙酯梯度(100:0~50:50)洗脱,得到83个流份。根据薄层色谱检测结果合并近似流份,共得到10个分离部位(A~J)。部位D经Sephadex LH-20凝胶柱分离后,用半制备HPLC进行分离(MeOH:H₂O=20:80/v:v),得到化合物6(2.4 mg)。部位E用制备薄层色谱(PTLC)分离(Pet.:Me₂CO=2:1/v:v),得到化合物1(2.6 mg)、3(15.6 mg)、7(3.3 mg)。部位J用硅胶柱色谱(200~300目)进行分离,用石油醚-乙酸乙酯梯度(100:0~60:40)洗脱,得4个流份(J1~J4)。J3用半制备HPLC进行分离(MeOH:H₂O=15:85/v:v),得到化合物2(10.0 mg)、4(15.9 mg)、5(2.8 mg)。

1.3 化合物1~7的结构鉴定

运用¹H NMR、¹³C NMR、MS等分析方法,对分离得到的单体化合物1~7进行结构鉴定。

1.4 化合物1~7的抗肿瘤活性测试

试验材料:化合物1~7,氟尿嘧啶。试验癌细胞株:人宫颈癌细胞HeLa,癌细胞A435,肺腺癌细胞A549,白血病细胞K562。

测试方法(Mossman,1983):取对数生长期的肿瘤细胞,将细胞密度调至每毫升2×10⁵个,按每孔200 μL加到96孔细胞培养板中,于37℃通入5% CO₂的培养箱中培养4 h。样品分别设定5个浓度梯度(2 000、1 000、500、250、125 μg/mL),每个浓度设3个平行样,同时设阳性、阴性对照,每孔加样品液或空白液各2 μL,培养72 h,然后每孔加MTT液10 μL,继续培养4 h,37℃、2 000 r/min离心8 min,吸去上清液。每孔加入DMSO各100 μL,在微量振荡器上振荡15 min,至结晶完全溶解后,酶标仪测定每孔570 nm处的吸光值(OD值)。

取平均OD值,按公式:IR%=(OD空白对照-OD样品)/OD空白对照×100%,计算样品对细胞增殖的抑制率(IR%),并采用bliss法计算出半数抑制率IC₅₀。

2 结构鉴定和抗癌细胞增殖活性

2.1 结构鉴定

化合物1 淡黄色晶体,分子式为C₁₀H₈O₄。¹H NMR(500 MHz,C₅D₅N) δ: 12.70(1H,s,OH),7.65(1H,d,J=9.5 Hz,H-4),7.14(1H,s,H-8),7.05(1H,s,H-5),6.31(1H,d,J=9.5 Hz,H-3),3.75(3H,s,OCH₃);¹³C NMR-DEPT(125 MHz,C₅D₅N) δ: 161.3(C-2,s),153.1(C-7,s),151.2(C-9,s),146.3(C-6,s),143.9(C-4,d),112.5(C-3,d),111.2(C-10,s),109.6(C-5,d),104.0(C-8,d),56.5(OCH₃,q)。上述数据与报道数据基本一致(康文艺等2004),故鉴定化合物1为莨菪亭。

化合物2 透明无定型固体,分子式C₂₀H₂₀O₆。¹H NMR(500 MHz,CD₃OD):δ: 9.57(1H,d,J=7.8 Hz,H-9'),7.66(1H,d,J=15.8 Hz,H-7'),7.31(1H,s,H-4'),7.25(1H,s,H-6') 6.97(1H,br s,H-2),6.86(1H,d,J=8.1 Hz,H-5),6.80(1H,d,J=8.1 Hz,H-6),6.70(1H,dd,J=7.8 Hz,15.8 Hz,H-7'),5.64(1H,d,J=6.4 Hz,H-7),3.94(3H,s,H-3'OMe),3.87(2H,m,H-9),3.84(3H,s,H-3'OMe),3.59(1H,m,H-8);¹³C NMR-DEPT(125 MHz,CD₃OD):δ 196.2(C-9',s),156.1(C-7',d),153.1

(C-2', d), 149.3(C-3', s), 147.9(C-4', s), 146.1(C-3', s), 134.0(C-4', s), 131.4(C-4', s), 129.7(C-5', s), 127.2(C-8', d), 120.1(C-2', d), 119.9(C-6', d), 116.4(C-5', d), 114.5(C-4', d), 110.8(C-6', d), 90.2(C-7', d), 64.7(C-9', t), 57.0(OCH₃, C-3', q), 56.5(OCH₃, C-3', q), 54.7(C-8', d)。上述数据与报道数据基本一致(Lee *et al.*, 2007), 故鉴定化合物2为Balanophonin。

化合物3 透明无定型固体, 分子式C₂₀H₂₆O₆。
¹H NMR(500 MHz, CDCl₃): δ 6.80(2H, d, J=8.2 Hz, H-5', 5") 6.65(2H, dd, J=8.2, 1.5 Hz, H-6, 6') 6.60(2H, d, J=1.5 Hz, H-2, 2') 3.82(6H, s, 2×OMe) 3.82(2H, m, H-9a, 9a') 3.58(2H, dd, J=11.5, 4.2 Hz, H-9b, 9b') 2.75(2H, dd, J=8.0, 13.5 Hz, H-7a, 7a') 2.65(2H, dd, J=6.5, 13.6 Hz, H-7b, 7b') 1.87(2H, m, H-8, 8') ; ¹³C NMR-DEPT(125 MHz, CDCl₃): δ 146.5(C-3', 3', s), 143.9(C-4', 4', s), 132.5(C-4', 1', s), 121.8(C-6, 6', d), 114.0(C-5, 5', d), 111.5(C-2, 2', d), 60.8(C-9, 9', t), 43.9(C-8, 8', d), 35.8(C-7, 7', t), 55.9(OCH₃, C-3', 3', q)。上述数据与报道数据基本一致(Agrawal *et al.*, 1982), 故鉴定化合物3为开环异落叶松脂素。

化合物4 白色粉末, 分子式为C₂₀H₁₈O₈。
¹H NMR(500 MHz, DMSO-d6): δ: 9.17(1H, s, OH), 7.95(1H, d, J=9.5 Hz, H-4), 6.99(1H, d, J=1.6 Hz, H-2'), 6.90(1H, s, H-5), 6.88(1H, dd, J=8.1, 1.6 Hz, H-6'), 6.82(1H, d, J=8.1 Hz, H-5') 6.35(1H, d, J=9.5 Hz, H-3) 4.97(1H, d, J=7.9 Hz, H-7') 4.31(1H, m, H-8') 3.78, 3.77(3H, s, 2×OCH₃) ; ¹³C NMR-DEPT(125 MHz, DMSO-d6): δ: 160.5(C-2', s), 148.2(C-3', s), 147.9(C-4', s), 145.8(C-6', s), 145.3(C-4', d), 138.5(C-9', s), 137.7(C-7', s), 132.2(C-8', s), 127.2(C-4', s), 121.3(C-6', d), 116.0(C-5', d), 113.7(C-3', d), 112.6(C-2', d), 111.8(C-10', s), 101.6(C-5', d), 78.4,(C-8', d), 76.7(C-7', d) 60.3(C-9', t), 56.4(OCH₃, C-3', q), 55.9(OCH₃, C-3', q)。上述数据与报道数据基本一致(Ray *et al.*, 1985), 故鉴定化合物4为臭失菜素A。

化合物5 无定型固体, 分子式为C₂₀H₂₂O₆。
 负离子ESIMS: m/z 357 [M-H]⁻, 393 [M+Cl-H]⁻;
 正离子ESIMS: m/z 381 [M+Na]⁺。
¹H NMR(500 MHz, CDCl₃): δ 6.92(2H, d, J=1.3 Hz, H-2, 2') 6.

90(2H, d, J=8.1 Hz, H-5, 5") 6.82(2H, dd, J=8.1, 1.3 Hz, H-6, 6') 5.67(s, OH) 4.76(2H, d, J=3.8 Hz, H-7, 7') 3.90(6H, s, OMe) 4.27(2H, dd, J=8.9, 6.7 Hz, H-9a, 9a') 3.91(2H, dd, J=8.9, 3.4 Hz, H-9b, 9b') 3.12(2H, m, H-8, 8') ; ¹³C NMR-DEPT(125 MHz, CDCl₃): δ 146.7(C-3, 3', s), 145.3(C-4, 4', s), 132.8(C-4, 1', d), 119.0(C-6, 6', d), 114.3(C-5, 5', d), 108.7(C-2, 2', d), 85.9(C-7, 7', d), 71.7(C-9, 9', t), 56.0(OCH₃, C-3, 3', q), 54.2(C-8, 8', d)。上述数据与报道数据基本一致(El-hassan *et al.*, 2003), 故鉴定化合物5为松脂素。

化合物6 透明无定型固体, 分子式C₂₁H₂₄O₆。

¹H NMR(500 MHz, CDCl₃): δ 6.91(1H, d, J=1.7 Hz, H-2') 6.90(1H, d, J=8.1 Hz, H-5') 6.83(1H, dd, J=1.7, 8.1 Hz, H-6') 6.59(2H, s, H-2, 6) 4.75(1H, d, J=4.5 Hz, H-7) 4.72(1H, d, J=4.5 Hz, H-7') 4.28(2H, m, H-9, 9') 3.89(2H, m, H-9, 9') 3.91(9H, s, 3×OMe) 3.11(2H, m, H-8, 8') ; ¹³C NMR-DEPT(125 MHz, CDCl₃): δ 147.2(C-3, s), 147.2(C-5, s), 146.7(C-3', s), 145.3(C-4', s), 134.4(C-4, s), 132.9(C-4', s), 132.2(C-4, s), 119.0(C-6, d), 114.3(C-5', d), 108.6(C-2', d), 102.8(C-2, d), 102.8(C-6, d), 86.2(C-7', d), 85.8(C-7, d), 71.9(C-9, t), 71.6(C-9', t), 56.4(OCH₃, C-3, q), 56.4(CH₃, C-5, q), 56.0(OCH₃, C-3', q), 54.4(C-8, d), 54.1(C-8', d)。上述数据与报道数据基本一致(Casabuonon *et al.*, 1994), 故鉴定化合物6为5'-甲氧基(-)-松脂素。

化合物7 白色粉末, 分子式为C₂₈H₃₈O₈。

¹H NMR(500 MHz, CD₃OD): δ: 6.59(2H, s, 2×H-8) 6.44(2H, s, H-2') 6.43(2H, s, 6') 4.44(1H, d, J=6.3 Hz, H-4) 4.25(1H, d, J=6.5 Hz, H-4), 4.30(1H, d, J=7.8 Hz, H-4") 4.16(1H, d, J=7.6 Hz, H-4") 3.88(6H, s, 2×H-3-OCH₃) 3.77(12H, s, 2×3', 5'-OCH₃) 3.36, 3.34(3H, s, 2×5-OCH₃) 2.13(2H, m, 2×H-3), 1.71(2H, m, 2×H-2); ¹³C NMR-DEPT(125 MHz, CD₃OD): δ: 149.0(C-3', 5', s), 148.7(C-7, s), 147.6(C-5, s), 139.4(C-6, 4', s), 134.6(C-4', s), 130.2(C-9, s), 126.3(C-10, s), 107.8(C-2', 6', d), 106.9(C-8, d), 104.3(C-4", d), 78.2(C-3", d), 78.0(C-5", d), 75.1(C-2", d), 71.5(C-3a, t), 71.7(C-4", d), 66.3(C-2a, t), 62.8(C-6", d), 60.3(5-OCH₃, q), 56.8(3', 5'-OCH₃, q), 56.

7(7-OCH₃,q) 46.7(C-4,d),42.8(C-3,d),40.7(C-2,d),33.8(C-1,t)。上述数据与报道数据基本一致(Ohashi et al., 1994)故鉴定化合物7为Lyoniresinol 3α-O-β-D-glucopyranosides。

2.2 抗肿瘤细胞增殖活性测试

样品1,3,7对肿瘤细胞株HeLa的IC₅₀分别为764.7,571.5,328.8 μg/mL,对肿瘤细胞株A435的

IC₅₀分别为593.4,397.5,455.5 μg/mL,对肿瘤细胞株A549的IC₅₀分别为290.2,323.0,209.3 μg/mL,对肿瘤细胞株K562的IC₅₀分别为1487.7,768.8,361.9 μg/mL。

样品2,4-6对肿瘤细胞株HeLa,A435,A549,K562的生长没有明显抑制活性。

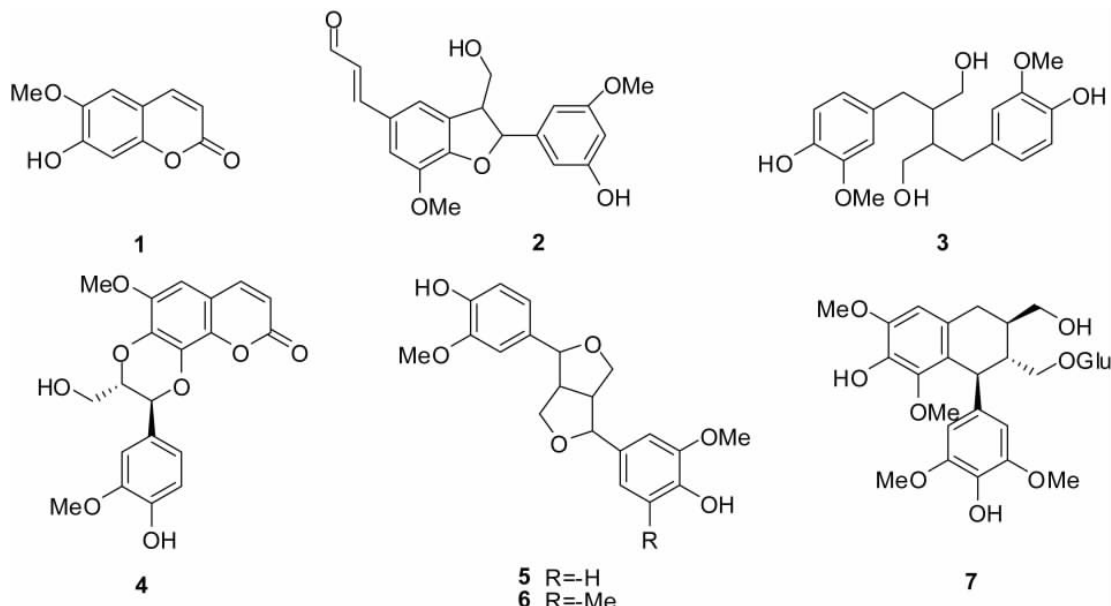


图1 化合物1-7的结构
Fig. 1 Structures of compounds 1-7

3 结论

通过各种分离技术和结构鉴定方法,从木榄胚轴中分离鉴定了7个苯丙素类化合物,分别鉴定为莨菪亭、Balanophonin、开环异落叶松脂素、臭失菜素A、松脂素、5'-甲氧基(-)-松脂素、Lyoniresinol-3α-O-β-D-glucopyranosides。运用MTT法,测试了化合物1-7的抗肿瘤细胞增殖活性,结果显示化合物1,3,7对肺腺癌细胞A549具有弱抑制活性,与该种植物的民间药用用途一致。除化合物3和5以外,其他化合物均首次从该植物中分离得到,该研究为广西木榄胚轴的开发利用提供科学支持。

参考文献:

- 范航清. 2000. 红树林海岸环保卫士[M]. 南宁: 广西科学技术出版社: 15-18
Li F(李昉), Li XM(李晓明), Wang BG(王斌贵). 2010. Chemical constituents of marine mangrove plant *Bruguiera gymnorhiza* (海洋红树林植物木榄化学成分研究) [J]. *Mar Sci(海洋科学)* 34(10): 24-27
Liu HL(刘海利), Shen X(沈旭), Jiang HL(蒋华良), et al. 2008. Structural studies on an unusual novel macrocyclic polydisulfide from the Chinese mangrove *Bruguiera gymnorhiza*(中国红树植物木榄中新颖罕见多聚二硫大环化合物的结构研究) [J]. *Chin J Org Chem(有机化学)* 28(2): 246-251
Shang SS(尚随胜), Long SJ(龙盛京). 2005. Overview to active constituents from mangrove *Bruguiera gymnorhiza*(红树植物木榄的活性成分研究概況) [J]. *Chin Trad Herb Drug(中草药)* , 36(3): 465-467
Kang WY(康文艺), Xu JX(徐建新), Hao XJ(郝小江). 2005. Study on constituents from *Neonauclea griffithii*(新乌檀化学成分研究) [J]. *J Chin Med Mat(中药材)* 27(5): 343-344
Agrawal PK, Rastogi RP. 1982. Two lignans from *Cedrus deodara* [J]. *Phytochemistry* 21(6): 1459-1461
Teas HJ. 1983. Biology and Ecology of Mangroves [M]. The Hague: Springer Publishers: 213
Tomlinson PB. 1986. The Botany of Mangroves [M]. Cambridge: Cambridge University Press: 101-104
Casabuonon AC, Pomilio A. 1994. Lignans and a stilbene from *Festuca Argentina* [J]. *Phytochemistry* 35(2): 479-483
(下转第257页 Continue on page 257)

- phosphorus in plants(铬对生活污水中氮磷的植物净化效果及体内氮磷含量的影响) [J]. *Ecol Environ Sci(生态环境学报)* **19**(2) : 286 – 290
- Li ZG(李志刚) ,Jiang YH(蒋越华) ,Li SL(李素丽) ,et al. 2008. Effect of waste– water treatment on leaf photosynthesis and chlorophyll fluorescence properties of three plant species in constructed wetland(人工湿地污水处理对三种植物光合作用及叶绿素荧光特性的影响) [J]. *Ecol Environ(生态环境)* , **17**(6) : 2 187 – 2 191
- Ling WW(凌薇薇) ,Wu XF(吴晓芳) ,Chen YH(陈永华) ,et al. 2011. Screening of manganese resistant microorganism and their Characteristics on Mn²⁺ ion removal (除锰微生物的筛选及其除锰特性研究) [J]. *J Centr S Univ For & Technol(中南林业科技大学学报)* **31**(6) : 152 – 156
- Matin CD ,Moshiri GA. 1994. Nutrient reduction in an in-series constructed wetland system treating landfill leachate [J]. *Wat Sci & Tech* **29**(4) : 267 – 272
- Niu RC(牛荣成) ,Wei SH(魏树和) ,Zhou QX(周启星) ,et al. 2010. Process of plant-microbe remediation of contaminated soil with heavy metal(植物-微生物联合修复重金属污染土壤研究进展) [J]. *World Sci-Tech R & D(世界科技研究与发展)* **32**(5) : 663 – 666
- Srinath T ,Verma T ,Ramteke PW ,et al. 2002. Chromium (VI) biosorption and bioaccumulation by chromate resistant bacteria [J]. *Chemosphere* **48**: 427 – 435
- Shi RJ(石汝杰) ,Lu YG(陆引罡) . 2007. Effect of the rhizosphere on the microorganism and the enzyme activity in polluted soil with lead(植物根际微生物和酶活性对铅污染的响应) [J]. *J Anhui Agric Sci(安徽农业科学)* **35**(30) : 9 634 – 9 636
- TengY(滕应) ,Huang CY(黄昌勇) ,Luo YM(骆永明) ,et al. 2004. Microbial Activities and Functional diversity of Community Soils Polluted with Pb-Zn-Ag mine tailings(铅锌银尾矿区土壤微生物活性及其群落功能多样性研究) [J]. *Acta Pedol Sin(土壤学报)* **41**(1) : 113 – 119
- Wei BM(韦必帽) ,Zhang CL(张超兰) ,Li QF(李勤峰) ,et al. 2009. Dynamic changes of microbial population and enzyme activity in artificial wetland with Cd wastewater(人工湿地处理含镉废水基质微生物和酶的动态变化研究) [J]. *Guangxi Agric Sci(广西农业科学)* **40**(5) : 533 – 537
- Wang J(王静) ,Tian R(田然) ,Zhou H(周辉) ,et al. 2010. Response of soil enzymes and microbial communities to elevated concentration of atmospheric CO₂ under stress of cu pollution(铜污染胁迫条件下农田土壤酶活性及微生物多样性对大气 CO₂浓度升高的响应) [J]. *J Agro-Environ Sci(农业环境科学学报)* **29**(9) : 1 706 – 1 711
- Wang JL(王俊丽) ,Ren JG(任建国) . 2011. Screening of cadmium resistant microbes and analysis of their adsorption capability (耐镉微生物的筛选及其吸附能力研究) [J]. *Hubei Agric Sci(湖北农业科学)* **50**(3) : 499 – 502
- Wang XL(王秀丽) ,Xu JM(徐建民) ,Yao HY(姚槐应) ,et al. 2003. Effects of Cu Zn Cd and Pb compound contamination on soil microbial community(重金属铜、锌、镉、铅复合污染对土壤环境微生物群落的影响) [J]. *Acta Sci Circum(环境科学学报)* **23**(1) : 22 – 27
- Wu JJ(吴建军) ,Jiang YM(蒋艳梅) ,Wu YP(吴渝萍) ,et al. 2008. Effects of complex heavy metal pollution on biomass and community structure of soil microbes in paddy soil(重金属复合污染对水稻土微生物量和群落结构的影响) [J]. *Acta Pedol Sin(土壤学报)* **45**(6) : 1 102 – 1 109
- Zhao K(赵堃) ,Chai LY(柴立元) ,Wang YY(王云燕) ,et al. 2006. The existing form ,migrationand transformation laws of Cr in water environment(水环境中铬的存在形态及迁移转化规律) [J]. *Industr Safety & Environ Protect(工业安全与环保)* **8**(32) : 1 – 3
- Zhang CL(张超兰) ,Wei BM(韦必帽) ,Liu M(刘敏) ,et al. 2010. Microorganism population and enzyme activity in substrate of vertical-flow constructed wetland treating Cd wastewater(含镉废水人工湿地处理系统中基质微生物数量和酶活性研究) [J]. *Water Res Protect(水资源保护)* **26**(4) : 57 – 61
- Zhang W(张巍) ,Zhao J(赵军) ,Lang CM(郎成明) ,et al. 2010. Progress in studies on pollutant removal by microorganisms in constructed wetlands(人工湿地系统微生物去除污染物的研究进展) [J]. *Chin J Environ Eng(环境工程学报)* **4**(4) : 711 – 718
- Zhou HL(周海兰) . 2007. The application of constructed wetland for heavy metal wastewater treatment(人工湿地在重金属废水处理中的应用) [J]. *Environ Sci Manag(环境科学与管理)* **9**(32) : 89 – 91
- Zhu JH(朱建华) ,Wang LL(王莉莉) . 1997. The toxicity of different valence chromium and effect on human body(不同价态铬的毒性及其对人体影响) [J]. *Environ Expl(环境与开发)* **12**(3) : 46 – 48

(上接第 194 页 Continue from page 194)

- El -Hassan A ,El-Sayed M ,Hamed AI ,et al. 2003. Bioactive constituents of *Leptadenia arborea* [J]. *Fitoterapia* **74**: 184 – 187
- Lee DY ,Song MC ,Yoo KH ,et al. 2007. Lignans from the fruits of *Cornus kousa* Burg. and their cytotoxic effects on human cancer cell lines [J]. *Arch Pharm Res* **30**(4) : 402 – 407
- Mossman T. 1983. Rapid colorimetric assay for cellular growth and survival: application to proliferation and cytotoxicity assay [J]. *J Immunol Meth* **65**: 55 – 63

- Ohashi K ,Watanabe H ,Okumura Y ,et al. 1994. Indonesian medicinal plants. XII. Four isomeric lignan-glucoside from the bark of *Aegle marmelos* (Rutaceae) [J]. *Chem Pharm Bull* **42**(9) : 1 924 – 1 926
- Ray AB ,Chattopadhyay SK ,Kumar S. 1985. Structures of cleomis-cosins coumarino-lignoids of *Cleome viscosa* seeds [J]. *Tetrahedron* **41**(1) : 209 – 214